

СПИРАЛЬНОЕ ДВИЖЕНИЕ ЭЛЕКТРОПРОВОДНОГО ГАЗА  
МЕЖДУ КОАКСИАЛЬНЫМИ ПРОНИЦАЕМЫМИ ЦИЛИНДРАМИ  
ПРИ НАЛИЧИИ ПРОДОЛЬНОГО МАГНИТНОГО ПОЛЯ

И. Б. Чекмарев, И. И. Шахнов

(Ленинград)

Стационарное вихревое движение электропроводного газа между бесконечно длинными коаксиальными цилиндрами в присутствии внешнего магнитного поля неоднократно рассматривалось в литературе. Причем, если предположение о несжимаемости среды позволяет получить решение задачи в квадратурах [1], то учет сжимаемости газа приводит к необходимости численного интегрирования уравнения для радиальной составляющей скорости.

В известных работах [2-3], где сжимаемость принималась во внимание, определение указанной составляющей скорости не проводилось. Между тем, как будет показано ниже, именно радиальная составляющая скорости определяет эффект «запирания» в канале, когда нарушается непрерывность газодинамических параметров потока.

Ниже исследуются характеристики течения при условии, что внутри канала не происходит запирания.

Рассмотрим следующую задачу. В кольцевой канал, образованный двумя коаксиальными пористыми электродами, поступает электропроводный вязкий газ. Будем считать, что газ подводится через внешний электрод радиуса  $b^*$  и отводится через внутренний электрод радиуса  $a^*$ . Пусть при  $r^* = b^*$  газ имеет скорость  $v_b^*$ , которая составляет с радиальным направлением угол  $\varphi$  (фиг. 1), давление  $p_b^*$ , плотность  $\rho_b^*$  и температуру  $T_b^*$ . Заданы также величина магнитной индукции внешнего продольного магнитного поля  $B_0^*$  и радиальная составляющая плотности тока на внешнем электроде  $j_{rb}^*$ . Электропроводность газа  $\sigma^*$  полагается постоянной.

Введем безразмерные переменные соотношения

$$\begin{aligned} r^* &= rb^*, & \mathbf{v}^* &= \mathbf{v}v_b^*, & p^* &= pp_b^*, & \rho^* &= \rho\rho_b^* \\ T^* &= TT_b^*, & h^* &= hh_b^*, & \mathbf{j}^* &= \mathbf{j}\sigma^*B_0^*v_b^* \\ \mathbf{E}^* &= \mathbf{E}B_0^*v_b^* & (h^* &= c_p^*T^* + 1/2v^{*2}) \end{aligned} \quad (1)$$

где  $h^*$  — полная энтальпия газа. Тогда, ограничиваясь случаем малых магнитных чисел Рейнольдса, имеем систему уравнений:

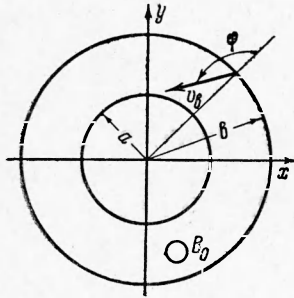
$$\begin{aligned} \rho \left( v_r \frac{dv_r}{dr} - \frac{v_\varphi^2}{r} \right) &= - \frac{1}{\gamma M_b^2} \frac{dp}{dr} + S j_\varphi \\ \frac{\rho v_r}{r} \frac{d}{dr} (rv_\varphi) &= - S j_r, & \rho r v_r &= \cos \varphi, & p &= \rho T \\ \rho v_r \frac{dh}{dr} &= \frac{(\gamma - 1) M_b^2}{1 + 1/2(\gamma - 1) M_b^2} S j_r E_r \end{aligned} \quad (2)$$

$$j_r = E_r + v_\varphi, \quad j_\varphi = -v_r, \quad r j_r = K$$

где

$$S = \frac{\sigma^* B_0^{*2} b^*}{\rho_b^* v_b^*}, \quad M_b = \frac{v_b^*}{\sqrt{(\gamma - 1) c_p^* T_b^*}}, \quad \gamma = \frac{c_p^*}{c_v^*}, \quad K = \frac{j_{rb}^*}{\sigma^* B_0^* v_b^*} \quad (3)$$

Соответствующие граничные условия имеют следующий вид:



Фиг. 1

$$\begin{aligned} v_r &= \cos \varphi, & v_\varphi &= \sin \varphi \\ p &= \rho = T = h = 1 \\ j_r &= K \quad \text{при } r = 1 \end{aligned} \quad (4)$$

Используя соотношения  $\rho v_r = r^{-1} \cos \varphi$ ,  $j_r = r^{-1} K$ , получим для азимутальной скорости следующее выражение

$$v_\varphi = \frac{1}{r} \left( \frac{KS}{\cos \varphi} \frac{1-r^2}{2} + \sin \varphi \right) \quad (5)$$

Для единственной составляющей напряженности электрического поля  $E_r$  находим

$$E_r = \frac{1}{r} \left( \frac{KS}{\cos \varphi} \frac{r^2-1}{2} - \sin \varphi + K \right) \quad (6)$$

Вводя электрический потенциал равенством  $E_r = -dV/dr$ , определяем разность потенциалов между электродами

$$\Delta V = V_b - V_a = - \left[ \frac{KS}{2 \cos \varphi} \left( \frac{1-a^2}{2} + \ln a \right) + (\sin \varphi - K) \ln a \right] \quad (7)$$

В случае режима холостого хода ( $K = 0$ ) разность потенциалов максимальна и равна

$$\Delta V_{\max} = - \ln a \sin \varphi \quad (8)$$

Из формулы (7) нетрудно получить для коэффициента нагрузки

$$K = \frac{2 \cos \varphi (\Delta V + \ln a \sin \varphi)}{2 \ln a \cos \varphi - S [1/2 (1-a^2) + \ln a]} \quad (9)$$

В случае режима короткого замыкания при  $\Delta V = 0$  отсюда имеем очевидное выражение для  $K_{\max}$ .

Интегрируя уравнение энергии при помощи полученных соотношений для  $v_r$ ,  $j_r$  и  $E_r$ , находим

$$\begin{aligned} h &= 1 - \frac{(\gamma-1) M_b^2}{1 + 1/2 (\gamma-1) M_b^2} \frac{KS}{\cos \varphi} \left[ \frac{KS}{2 \cos \varphi} \left( \frac{1-r^2}{2} + \ln r \right) + \right. \\ &\quad \left. + (\sin \varphi - K) \ln r \right] \end{aligned} \quad (10)$$

Отсюда для относительного перепада энтальпии получаем формулу

$$\begin{aligned} \eta &= \frac{h_b^* - h_a^*}{h_b^*} = 1 - h_a = \\ &= \frac{(\gamma-1) M_b^2}{1 + 1/2 (\gamma-1) M_b^2} \frac{KS}{\cos \varphi} \left[ \frac{KS}{2 \cos \varphi} \left( \frac{1-a^2}{2} + \ln a \right) + (\sin \varphi - K) \ln a \right] \end{aligned} \quad (11)$$

Исследование выражения (11) показывает, что при

$$K_0 = \frac{\ln a \sin \varphi \cos \varphi}{2 \ln a \cos \varphi - S [1/2 (1-a^2) + \ln a]} = \frac{1}{2} K_{\max} \quad (12)$$

что соответствует разности потенциалов

$$\Delta V_0 = - \frac{1}{2} \ln a \sin \varphi = \frac{1}{2} \Delta V_{\max} \quad (13)$$

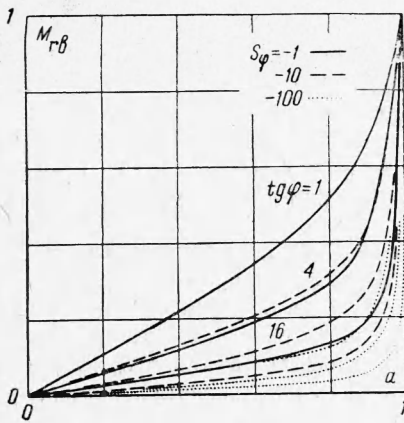
относительный перепад энтальпии имеет максимальное значение

$$\eta_0 = \frac{1}{2} \frac{(\gamma - 1) M_b^2}{1 + \frac{1}{2}(\gamma - 1) M_b^2} \frac{S \ln^2 a \sin^2 \varphi}{2 \ln a \cos \varphi - S (\frac{1}{2}(1 - a^2) + \ln a)} \quad (14)$$

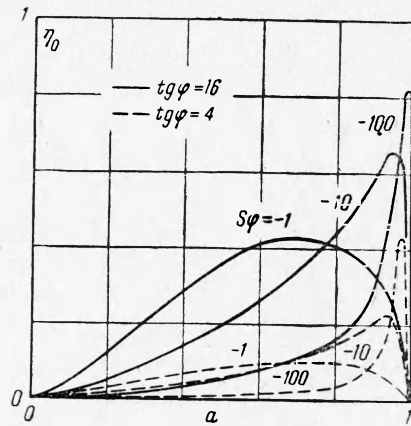
Заметим, что при изменении расстояния между электродами от 0 до 1 коэффициент нагрузки меняется

$$\text{от } K_0 = \frac{1}{2} \sin \varphi \text{ до } K_0 = \frac{\sin \varphi \cos \varphi}{2 \cos \varphi - S}$$

Если в формуле (11) величины  $a, M_b, S$  считать независимыми, то экстремального значения  $\eta$  по этим параметрам не существует. Условие



Фиг. 2



Фиг. 3

непрерывности течения в канале налагает на эти параметры определенную связь, которая может быть найдена при помощи анализа уравнения для радиальной составляющей скорости.

Путем несложных преобразований получаем для неизвестных функций  $v_r$  и  $p$  следующую систему уравнений:

$$\frac{dv_r}{dr} = \frac{1}{(M_b^2 \cos \varphi v_r - rp)} \left[ p v_r + \gamma M_b^2 \cos \varphi \frac{v_\varphi^2}{r} - \gamma M_b^2 S r v_r^2 + (\gamma - 1) M_b^2 \cos \varphi v_\varphi \frac{dv_\varphi}{dr} - \left( 1 + \frac{\gamma - 1}{2} M_b^2 \right) \cos \varphi \frac{dh}{dr} \right] \quad (15)$$

$$r p v_r = \cos \varphi \left[ \left( 1 + \frac{\gamma - 1}{2} M_b^2 \right) h - \frac{\gamma - 1}{2} M_b^2 v_r^2 - \frac{\gamma - 1}{2} M_b^2 v_\varphi^2 \right] \quad (16)$$

Запирание, как видно из уравнения (15), имеет место при

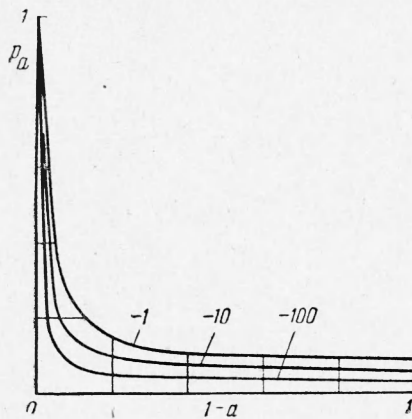
$$M_b^2 \cos \varphi v_r - r p = 0$$

т. е. когда число Маха, определенное по радиальной скорости  $v_r$ ,

$$M_r = v_r^* \sqrt{\frac{\rho^*}{\gamma p^*}} = M_b v_r \sqrt{\frac{\rho}{p}} = 1 \quad (17)$$

Система (15) — (16) для случая одноатомного газа ( $\gamma = 5/3$ ) решалась на ЭВМ «БЭСМ-2» методом Эйлера с шагом интегрирования  $\Delta r = 10^{-2}$ . Интегрирование производилось в диапазоне  $0.1 \leq a \leq 0.9$  и  $0.1 \leq M_b \leq 4$  с интервалом, равным 0.1.

При этом величина  $S_\varphi = S / \sin \varphi$  последовательно принимала значения  $S_\varphi = -1, -10, -100$ , а  $\operatorname{tg} \varphi = 1, 4, 16$ . Коэффициент нагрузки  $K$  вычислялся по формуле (12), соответствующей значению  $\eta_0$ . В ходе вычислений определялись величины  $v_r, v_\varphi, p, h, \Delta V$  — причем машиной было проанализировано всего 3240 вариантов. Кроме вариантов, когда внутри канала запираение не происходило, были отобраны варианты, соответствующие запираению на поверхности внутреннего электрода. В последнем случае с целью сокращения машинного времени условно принималось, что запираение имеет место на поверхности внутреннего электрода, если при  $|r - a| \leq 0.05$  производная  $dv_r / dr$  меняет знак или выполняется неравенство  $|M_r^2 - 1| \leq 0.05$ . В результате были получены максимально допустимые значения входного числа Маха  $M_b$  в зависимости от параметров  $\varphi$  и  $S_\varphi$  при различных  $a$ . Соответствующие графики в координатах  $a$  и  $M_{rb} = M_b |\cos \varphi|$  приведены на фиг. 2, причем для каждого данного значения  $S_\varphi$  верхняя кривая соответствует  $\operatorname{tg} \varphi = 1$ , средняя —  $\operatorname{tg} \varphi = 4$  и нижняя —  $\operatorname{tg} \varphi = 16$ .



Фиг. 4

Перепад давления увеличивается с ростом  $|S_\varphi|$ , причем, если  $a < 0.7$ , то он практически не зависит от  $a$ . Для случая  $\operatorname{tg} \varphi = 16$  зависимость величины  $p_a$ , обратной перепаду давления, от радиуса  $a$  при значениях  $S_\varphi = -1, -10, -100$  приведена на фиг. 4.

В значительном диапазоне изменения размера  $a$  ( $a < 0.7$ ) при  $|\operatorname{tg} \varphi| > 1$  и  $0 \leq |S_\varphi| \leq 100$  эта зависимость может быть аппроксимирована формулой

$$M_{rb} = a [V |\operatorname{tg} \varphi| (1.67 + 0.117 |S_\varphi| - 6.21 \cdot 10^{-4} S_\varphi^2)]^{-1} \quad (18)$$

На фиг. 3 для случаев  $\operatorname{tg} \varphi = 16$  и  $\operatorname{tg} \varphi = 4$  приведены кривые, показывающие изменение  $\eta_0$  в зависимости от размера  $a$  при различных  $S_\varphi$  и максимально допустимых значениях  $M_b$ ; функция  $\eta_0$  имеет ясно выраженный экстремальный характер, причем максимум величины  $\eta_0$  возрастает с увеличением  $|\operatorname{tg} \varphi|$ .

С увеличением параметра  $|S_\varphi|$  максимум  $\eta_0$  также возрастает, причем положение максимума смещается в сторону больших  $a$ , а его область сужается.

Поступила 15 VII 1963

#### ЛИТЕРАТУРА

1. Ч е к м а р е в И. Б. Некоторые вопросы стационарного течения проводящей жидкости в бесконечно длинной кольцевой трубе при наличии радиального магнитного поля. Ж. техн. физ., 1960, т. 30, № 6, 601—605.
2. M c C u n e I. E., D o n a l d s o n C. D. On the magnetogasdynamics of compressible vortices. Progr. Astronaut. and Rocketry, 1961, vol. 3.
3. C o e r d t R. J., D a v i s W. C., C r a i g R. T. A vortex MHD power generator. Progr. Astronaut. and Rocketry, 1961, vol. 3.